

01; 05; 09

© 1990 г.

ТЕОРИЯ СВЯЗИ МАГНИТОСТАТИЧЕСКИХ МОД В ОБЛАСТЯХ НЕРЕГУЛЯРНОСТИ ПЛЕНОК ФЕРРОДИЭЛЕКТРИКА

А. А. Барыбин, Е. О. Каменецкий

Разрабатывается метод мод применительно к задачам прохождения магнитостатических волн через нерегулярности в пленках ферродиеэлектрика. Построенная в работе теория связи магнитостатических мод в областях неоднородности достаточно универсальна и позволяет провести анализ неоднородностей с учетом как распространяющихся, так и реактивных мод. Рассмотрена задача о связи мод при прохождении поверхностных МСВ через участок нерегулярности, созданной дополнительным слоем феррита и металлическим экраном.

1. В настоящее время широко исследуется влияние различных нерегулярностей в ферродиеэлектрических пленках на характеристики спин-волновых приборов. Эти нерегулярности создаются изменением толщины пленки феррита [1], изменением намагниченности насыщения феррита [2] или поля подмагничивания [3], а также введением или устранением металлических экранов [4].

Строгий электродинамический анализ ферритовых структур с участками неоднородности обычно проводится на основании отыскания функции Грина и решения соответствующих интегральных уравнений [5, 6]. Существует однако другой метод, широко применяемый при анализе неоднородностей в волноводах, называемый методом мод [7, 8]. В настоящей работе рассмотрены основные принципы метода мод применительно к магнитостатическим волнам (МСВ). Рассмотрена задача о связи мод при прохождении поверхностных МСВ через участок нерегулярности.

2. Задача о прохождении МСВ через участок нерегулярности фактически является задачей возбуждения, поскольку любую нерегулярность можно рассматривать как регулярный участок волновода с источниками тока и заряда, описывающими эту нерегулярность. При выводе уравнений возбуждения воспользуемся общим представлением теоремы взаимности [9, 10] для случая, когда электрическое поле чисто вихревое ($\mathbf{E} \equiv \mathbf{E}_e$), а магнитное поле потенциально ($\mathbf{H} = -\nabla\psi$). При этом

$$\operatorname{rot} \mathbf{E}_e = i\omega\mu_0\bar{\mu}(\nabla\psi), \quad (1)$$

где $\bar{\mu}$ — тензор магнитной проницаемости.

Применительно к магнитостатической задаче будем считать, что в регулярном волноводе объемными магнитными зарядами ρ_{b1}^m , поверхностными магнитными зарядами ρ_{s1}^m и поверхностными электрическими токами \mathbf{j}_{s1}^e возбуждается поле с индексом 1. Аналогично зарядами ρ_{b2}^m , ρ_{s2}^m и токами \mathbf{j}_{s2}^e возбуждается поле с индексом 2. Используя общие выражения, полученные в [9, 10], для рассматриваемой задачи имеем

$$\frac{\partial}{\partial z} \int_S (i\omega\psi_1 \mathbf{B}_2^* - i\omega\psi_2^* \mathbf{B}_1) \mathbf{e}_z dS = R^{(b)} + R^{(e)}, \quad (2)$$

где

$$R^{(b)} = \int_S (-i\omega\rho_{b_1}^m\psi_2^* + i\omega\rho_{b_2}^m\psi_1) dS, \quad (3)$$

$$R^{(e)} = \oint_{\mathcal{L}_s} (-i\omega\rho_s^m\psi_2^* + i\omega\rho_{s_2}^m\psi_1 + \mathbf{j}_s^* \mathbf{E}_{s_2} + \mathbf{j}_{s_2}^* \mathbf{E}_s) dl, \quad (4)$$

$$\mathbf{B}_{1,2} = -\mu_0 \text{grad} \psi_{1,2}. \quad (5)$$

Направление вектора \mathbf{e}_s , а также вид сечения S и контура \mathcal{L}_s показаны на рис. 1. Объемные источники находятся внутри сечения S , поверхностные — на контуре \mathcal{L}_s . При наличии металла контур \mathcal{L}_s проходит под металлическим экраном.

В регулярном волноводе спиновых волн в отсутствие источников существуют магнитоэлектрические моды, являющиеся собственными функциями магнитоэлектрической задачи. Потенциал ψ может быть разложен по полной системе этих собственных функций

$$\psi = \sum_n A_n \psi_n = \sum_n A_n \hat{\psi}_n e^{-\gamma_n z}, \quad (6)$$

где $\hat{\psi}_n$ — мембранная функция (функция координат поперечного сечения) магнитного потенциала для n -й моды, γ_n — постоянная распространения n -й моды. Каждой n -й магнитоэлектрической моде сопутствует вихревое электрическое поле $\mathbf{E}_{e,n}$. Полное поле \mathbf{E}_e представимо в виде

$$\mathbf{E}_e = \sum_n A_n \mathbf{E}_{e,n} e^{-\gamma_n z}, \quad (7)$$

где $\mathbf{E}_{e,n}$ — мембранная функция электрического поля для n -й моды.

Рассмотрим выражение (2) применительно к регулярному волноводу без источников. В этом случае $R^{(b)} = R^{(e)} = 0$. В выражении (2) полям с индексом 1 введем в соответствие моду с номером m , а полям с индексом 2 — моду с номером n . В результате имеем

$$(\gamma_m + \gamma_n^*) \int_S i\omega (\hat{\psi}_m \hat{\mathbf{B}}_n^* - \hat{\psi}_n^* \hat{\mathbf{B}}_m) \mathbf{e}_z dS = 0. \quad (8)$$

Мы получили условие ортонормировки. Ортогональными являются моды, для которых справедливо выражение

$$\gamma_m + \gamma_n^* \neq 0. \quad (9)$$

Для реактивных мод [8, 11] постоянная распространения γ содержит вещественную α и мнимую β составляющие. Такие моды не будут ортогональными если

$$\alpha_m = -\alpha_n, \quad \beta_m = \beta_n. \quad (10)$$

Моду с номером n , удовлетворяющую условию (10), обозначим как моду с номером \bar{n} . Эта мода является сопряженной с модой m . В отсутствие ортогональности интеграл в (8) не равен нулю. В этом случае вводится норма, определяемая как

$$N_m \equiv N_{m\bar{m}} = i\omega \int_S (\hat{\psi}_m \hat{\mathbf{B}}_{\bar{m}}^* - \hat{\psi}_{\bar{m}}^* \hat{\mathbf{B}}_m) \mathbf{e}_z dS = N_{\bar{m}m}^* \equiv N_m^*. \quad (11)$$

В области возбуждения поля и потенциалы можно представить в виде разложения в ряд по собственным функциям поперечного сечения невозмущенного волновода с коэффициентами, зависящими от продольной координаты z [7-10]. Мы считаем, что в области возбуждения токи и заряды порождают поля и по-

тенциалы с индексом 1 (выражения (2)–(5)). Эти поля и потенциалы записываем в виде разложений следующим образом:

$$\begin{aligned} \phi_1 &= \sum_m A_m(z) \hat{\phi}_m e^{-\gamma_m z}, \quad \mathbf{E}_{c_i} = \sum_m A_m(z) \mathbf{E}_{c, m} e^{-\gamma_m z}, \\ \mathbf{H}_1 &= \sum_m A_m(z) \hat{\mathbf{H}}_m e^{-\gamma_m z} = - \sum_m A_m(z) (\nabla_{\perp} \hat{\phi}_m - \gamma_m \hat{\phi}_m \mathbf{e}_z) e^{-\gamma_m z}. \end{aligned} \quad (12)$$

Здесь ∇_{\perp} — поперечный лапласиан, \mathbf{e}_z — орт оси z . Поля и потенциалы с индексом 2 (выражения (2)–(5)) не имеют источников в области возбуждения. Будем считать, что эти поля и потенциалы представляют собой n -ю собственную моду.

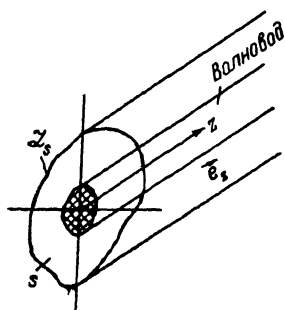


Рис. 1. Общее представление волноведущей структуры.

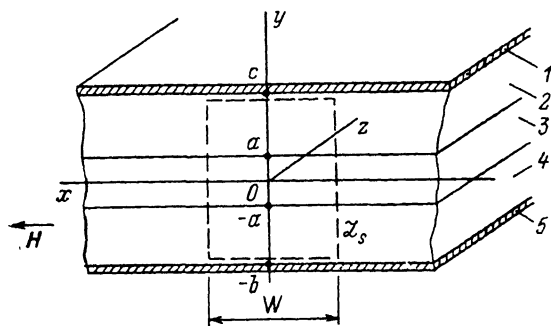


Рис. 2. Металлизированная ферродиелектрическая структура.

1, 5 — металл; 2, 4 — диэлектрик; 3 — феррит.

В области возбуждения для моды $n = \tilde{m}$ существует норма, определяемая выражением (11). При этом $\gamma_m + \gamma_m^* = 0$. На основании (2)–(4) могут быть получены уравнения возбуждения

$$\frac{da_m(z)}{dz} + \gamma_m a_m(z) = - \frac{1}{N_m} (R_m^{(b)} + R_m^{(c)}), \quad (13)$$

где $a_m(z) = A_m(z) e^{-\gamma_m z}$; $R_m^{(b)}$ и $R_m^{(c)}$ — интегралы (3) и (4), в которых индекс 2 заменен на индекс \tilde{m} .

3. Остановимся на конкретном анализе прохождения ПМСВ через участок нерегулярности. Теория, изложенная в настоящей работе, позволяет рассмотреть различные виды нерегулярностей: изменение толщины пленки феррита, изменение намагниченности насыщения, а также введение или устранение металлических экранов. Для использования уравнения (13) применительно к анализу конкретных структур необходимо определить норму N_m и интегралы возбуждения $R_m^{(b)}$ и $R_m^{(c)}$.

Рассмотрим регулярную структуру, представленную на рис. 2, и определим норму N_m для ПМСВ в такой структуре. Волновой процесс распространяется вдоль оси z . Постоянное магнитное поле \mathbf{H}_0 направлено по оси x . Контур \mathcal{L}_s , ограничивающий сечение S , выбираем следующим образом: по оси x протяженность контура равна W , при $y = -b$ и $y = c$ контур проходит вдоль электрической стенки, на которой $B_y = 0$. Для рассматриваемой геометрии с учетом известного вида тензора магнитной проницаемости $\hat{\mu}$ выражение (11) запишется в виде

$$\begin{aligned} N_m &= i\omega\mu_0 W \left\{ \int_{-b}^c \left[\psi_m \left(\frac{\partial \psi_m}{\partial z} \right)^* - \psi_m^* \left(\frac{\partial \psi_m}{\partial z} \right) \right] dy + \int_{-a}^a \left[\psi_m \left(-i\mu_a \left[\frac{\partial \psi_m}{\partial y} \right]^* + \mu \left[\frac{\partial \psi_m}{\partial z} \right]^* \right) - \right. \right. \\ &\quad \left. \left. - \psi_m^* \left(i\mu_a \frac{\partial \psi_m}{\partial y} + \mu \frac{\partial \psi_m}{\partial z} \right) \right] dy + \int_a^c \left[\psi_m \left(\frac{\partial \psi_m}{\partial z} \right)^* - \psi_m^* \left(\frac{\partial \psi_m}{\partial z} \right) \right] dy \right\}, \end{aligned} \quad (14)$$

где μ , μ_a — соответственно диагональная и недиагональная компоненты тензора $\hat{\mu}$.

При проведении анализа будем различать прямые и обратные моды. В случае распространяющихся мод прямой модой является мода с положительной групповой скоростью ($v_{\text{гр}+m} > 0$), распространяющаяся вправо от области возбуждения. Соответственно обратной модой является мода с отрицательной групповой скоростью ($v_{\text{гр}-m} < 0$), распространяющаяся влево от области возбуждения. В случае реактивных мод знак $\alpha_{\pm m}$ однозначно задает прямую ($\alpha_{+m} > 0$) и обратную ($\alpha_{-m} < 0$) волны, существующие соответственно справа и слева от источника. Для различения мод удобно ввести параметр $q_{\pm m}$, который указывает знак фазовой скорости $q_{\pm m} = +1$ при $\beta_{\pm m} > 0$ ($v_{\Phi_{\pm m}} > 0$) и $q_{\pm m} = -1$ при $\beta_{\pm m} < 0$ ($v_{\Phi_{\pm m}} < 0$).

Решения для мембранных функций потенциалов в областях 2, 3 и 4 для мод с индексами m и \bar{m} запишем в виде

$$\hat{\psi}_m^{(2)}(\bar{m})(y) = F_m^{(2)}(\bar{m})e^{-iq_m(\bar{m})\gamma_m(\bar{m})(y+a)} + G_m^{(2)}(\bar{m})e^{iq_m(\bar{m})\gamma_m(\bar{m})(y+a)}, \quad (15)$$

$$\hat{\psi}_m^{(3)}(\bar{m})(y) = F_m^{(3)}(\bar{m})e^{-iq_m(\bar{m})\gamma_m(\bar{m})(y-a)} + G_m^{(3)}(\bar{m})e^{iq_m(\bar{m})\gamma_m(\bar{m})(y-a)}, \quad (16)$$

$$\hat{\psi}_m^{(4)}(\bar{m})(y) = F_m^{(4)}(\bar{m})e^{iq_m(\bar{m})\gamma_m(\bar{m})(y-a)} + G_m^{(4)}(\bar{m})e^{-iq_m(\bar{m})\gamma_m(\bar{m})(y-a)}. \quad (17)$$

Нетрудно показать, что для любых мод первые члены в правых частях (15) и (17) описывают решения, «прижатые» к поверхности феррита. В случае неэкранированных структур вторые члены в правых частях (15) и (17) исчезают. Соотношения между коэффициентами в (15)–(17) определяются из условий равенства потенциалов и нормальных компонент магнитной индукции на плоскостях $y = \pm a$ и зануления нормальной компоненты магнитной индукции при $y = -b$, $y = c$.

Подставим (15)–(17) в (14). После ряда преобразований с учетом граничных условий окончательно имеем

$$N_m = -\frac{\omega\mu_0 W (p_m + t_m v_m^2 - 2v_m r_m)}{q_m (1 - v_m^2)} \hat{\psi}_m(a) \hat{\psi}_{\bar{m}}^*(a), \quad (18)$$

где $\hat{\psi}_m(\bar{m})(a)$ — значения мембранной функции соответственно m -й и \bar{m} -й мод при $y = a$; p_m , t_m , r_m , v_m — коэффициенты, определяемые из выражений

$$p_m = (\mu - q_m \mu_a) (1 - e^{i4q_m \gamma_m a}) - f_m e^{i4q_m \gamma_m a} - h_m, \quad (19)$$

$$t_m = -(\mu + q_m \mu_a) (1 - e^{-i4q_m \gamma_m a}) - f_m e^{-i4q_m \gamma_m a} - h_m, \quad (20)$$

$$r_m = -i4q_m \gamma_m a \mu - f_m - h_m, \quad (21)$$

$$f_m = i \frac{2q_m \gamma_m (b-a) + \sin [2q_m \gamma_m (b-a)]}{1 + \cos [2q_m \gamma_m (b-a)]}, \quad (22)$$

$$h_m = i \frac{2q_m \gamma_m (c-a) + \sin [2q_m \gamma_m (c-a)]}{1 + \cos [2q_m \gamma_m (c-a)]}, \quad (23)$$

$$v_m = \frac{\mu_a - q_m \left(\mu + \frac{1 - e^{i2q_m \gamma_m (c-a)}}{1 + e^{i2q_m \gamma_m (c-a)}} \right)}{\mu_a + q_m \left(\mu - \frac{1 - e^{i2q_m \gamma_m (c-a)}}{1 + e^{i2q_m \gamma_m (c-a)}} \right)}. \quad (24)$$

При выводе выражения (18) учитывались равенство $\gamma_m = -\gamma_{\bar{m}}^*$ и очевидное соотношение $q_m = q_{\bar{m}}$, следующее из этого равенства.

В частном случае открытой структуры ($b \rightarrow \infty$, $c \rightarrow \infty$) выражение для нормы N_m существенно упрощается. Используя дисперсионное соотношение для открытой структуры

$$e^{-i4q_m \gamma_m a} = \frac{(1 + q_m \mu_a - \mu)(1 - q_m \mu_a - \mu)}{(1 + q_m \mu_a + \mu)(1 - q_m \mu_a + \mu)}, \quad (25)$$

которое нетрудно получить из (15)–(17) и граничных условий при $y = \pm a$, на основании (18)–(24) имеем

$$N_m = -i2\omega\mu_0 W \frac{(1 - \mu - q_m^{\mu a})(1 + \mu - q_m^{\mu a}) \gamma_m^a}{\mu} \hat{\psi}_m(a) \hat{\psi}_m^*(a). \quad (26)$$

4. Вывод выражений для интегралов возбуждения $R_m^{(b)}$ и $R_m^{(g)}$ будем проводить для конкретных видов нерегулярностей. На рис. 3, а, б показаны два варианта нерегулярностей, созданных в открытых структурах. В первом случае нерегулярность обусловлена наличием металлического экрана и дополнительным слоем феррита, расположенным вне основного феррита. Во втором случае нерегулярность обусловлена наличием металлического экрана и дополнительным слоем феррита, погруженным в слой основного феррита. Нетрудно показать, что анализ применим для частного случая, когда вместо дополнительного слоя феррита рассматривается слой диэлектрика, погруженного в основной феррит.

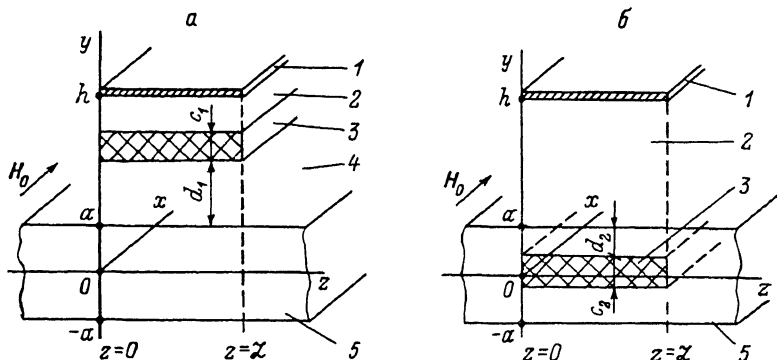


Рис. 3. Варианты нерегулярностей ферродиелектрических структур.

1 — металл; 2, 4 — диэлектрик; 3 — феррит дополнительный; 5 — феррит основной

Полагая, что нерегулярность ограничена по оси x интервалом $0 \leq x \leq W$, для интегралов $R_m^{(b)}$ и $R_m^{(g)}$, стоящих в правой части (13), на основании (3) и (4) имеем

$$R_m^{(b)} = \int_{-a}^a \int_0^W i\omega\rho_m^* \hat{\psi}_m^* dx dy, \quad (27)$$

$$R_m^{(g)} = \int_0^W [i\omega\rho_m^* \hat{\psi}_m^*(y_0) - i\hat{E}_m^* \cdot \hat{E}_m(y_0)] dx, \quad (28)$$

где y_0 — координата плоскости, на которой расположены поверхностные источники.

В общем случае возбуждающие токи и заряды в (27) и (28) могут быть представлены как сумма сторонних и наведенных токов и зарядов. В нашей задаче, когда токи и заряды вводятся исключительно для описания участка нерегулярности, речь пойдет только о наведенных источниках. Эти источники выражаются через полные поля в нерегулярной области волновода. Следует однако отметить, что электрические токи, входящие в (28), обусловлены наличием металла. В отсутствие сторонних токов наведенные на идеальном металле электрические токи не являются возбуждающими токами. Таким образом, в дальнейшем мы остановимся только на определении наведенных магнитных зарядов.

Будем отдельно рассматривать наведенные заряды, обусловленные металлом, и наведенные заряды, обусловленные дополнительным слоем феррита (рис. 3, а, б). Введение идеального металла в область $0 \leq x \leq W$, $y=h$, $0 \leq z \leq L$ приводит к тому, что в этой области зануляется нормальная компонента

вектора магнитной индукции. Этот факт можно представить следующим образом:

$$B_y|_{y=h} + B_y^{\text{наб}} = 0, \quad (29)$$

где B_y — нормальная компонента магнитной индукции поля регулярного волновода; $B_y^{\text{наб}}$ — нормальная компонента магнитной индукции, обусловленная металлом.

Определим наведенный на металле поверхностный магнитный заряд следующим образом:

$$(\rho_s^m)_{\text{мет}} \equiv B_y^{\text{наб}}. \quad (30)$$

С учетом (29) имеем

$$(\rho_s^m)_{\text{мет}} = -\mu_0 H_y|_{y=h} = \mu_0 \sum_m a_m(z) \frac{d\hat{\psi}_m(y)}{dy} \Big|_{y=h} = i\mu_0 \sum_m a_m(z) \gamma_m \hat{\psi}_m(h), \quad (31)$$

где использовано выражение (17) и учтено, что для рассматриваемой регулярной открытой структуры второе слагаемое в правой части (17) отсутствует.

Перейдем к рассмотрению наведенных зарядов, обусловленных дополнительными слоями феррита в отсутствие металлического экрана. В случае нерегулярностей, представленных на рис. 3, а, б, дополнительный слой феррита находится соответственно в областях $a+d_1 \leq y \leq a+d_1+c_1$ и $a-d_2-c_2 \leq y \leq a-d_2$. Для нерегулярности, показанной на рис. 3, б, в области $a-d_2-c_2 \leq y \leq a-d_2$ уравнение Максвелла имеет вид

$$\text{rot}(\mathbf{E}_c) = -i\omega\bar{\mu}_{\text{осн}}\mathbf{H} - \mathbf{j}^n, \quad (32)$$

где

$$\mathbf{j}^n = -i\omega\mu_0(\mathbf{M}_{\text{осн}} - \mathbf{M}_{\text{доп}}), \quad (33)$$

$\bar{\mu}_{\text{осн}}$ — тензор магнитной проницаемости основного феррита; $\mathbf{M}_{\text{осн}}$, $\mathbf{M}_{\text{доп}}$ — намагниченность соответственно основного и дополнительного ферритов.

С использованием уравнения непрерывности получим выражение для наведенного магнитного заряда

$$\rho_s^m = -\mu_0 \text{div}[(\bar{\mu}_{\text{доп}} - \bar{\mu}_{\text{осн}})\mathbf{H}], \quad (34)$$

где $\bar{\mu}_{\text{доп}}$ — тензор магнитной проницаемости дополнительного феррита.

Нетрудно показать, что аналогичное рассмотрение нерегулярности на рис. 3, а приводит к выражению для ρ_s^m , совпадающему с формулой (34) при замене в этой формуле $\bar{\mu}_{\text{осн}}$ на 1.

На основании (34) с использованием (12) для компонент поля \mathbf{H} нетрудно получить

$$\begin{aligned} \rho_s^m &= -\mu_0 \left[(\mu_{\text{доп}} - \mu_{\text{осн}}) \left(\frac{\partial H_y}{\partial y} + \frac{\partial H_z}{\partial z} \right) + i(\mu_{\alpha_{\text{доп}}} - \mu_{\alpha_{\text{осн}}}) \left(\frac{\partial H_y}{\partial z} - \frac{\partial H_z}{\partial y} \right) \right] = \\ &= -\mu_0 \sum_m \left\{ [(\mu_{\text{доп}} - \mu_{\text{осн}}) \gamma_m \hat{\psi}_m(y) - i(\mu_{\alpha_{\text{доп}}} - \mu_{\alpha_{\text{осн}}}) \frac{d\hat{\psi}_m(y)}{dy}] \left(\frac{da_m(z)}{dz} + \gamma_m a_m(z) \right) \right\}, \quad (35) \end{aligned}$$

где $\mu_{\text{осн}}(\text{доп})$ и $\mu_{\alpha_{\text{осн}}(\text{доп})}$ — диагональные и недиагональные компоненты тензоров $\bar{\mu}_{\text{осн}}$ и $\bar{\mu}_{\text{доп}}$.

Наряду с наведенными объемными магнитными зарядами ρ_s^m на границах раздела дополнительный феррит—диэлектрик и дополнительный феррит—основной феррит возникают наведенные поверхностные магнитные заряды ρ_s^m . Эти поверхностные заряды определяются как разность между нормальными компонентами магнитной индукции различных слоев на границе раздела между этими слоями. Для структуры на рис. 3, а имеем

$$\rho_{s_1}^m = -B_{y, \text{дв.з.}}|_{y=a+d_1} + B_{y, \text{ф. доп}}|_{y=a+d_1} \quad (36)$$

при $y = a + d_1$ и

$$\rho_{s_2}^m = B_{\gamma, \text{двэл}} |_{y=a+d_1+c_1} - B_{\gamma, \text{ф. доп}} |_{y=a+d_1+c_1} \quad (37)$$

при $y = a + d_1 + c_1$. В этих выражениях $e_{y, \text{двэл}}$ и $B_{\gamma, \text{ф. доп}}$ — нормальные компоненты магнитной индукции соответственно в диэлектрике и в дополнительном слое феррита.

Представляя магнитную индукцию через магнитостатический потенциал, нетрудно получить

$$\rho_{s_1}^m = -i\mu_0 \sum_m a_m(z) \gamma_m \hat{\psi}_m(a) e^{iqm\gamma m d_1} [\mu_{\text{доп}} - q_m(1 - \mu_{\text{доп}})], \quad (38)$$

$$\rho_{s_2}^m = i\mu_0 \sum_m a_m(z) \gamma_m \hat{\psi}_m(a) e^{iqm\gamma m (d_1+q)} [\mu_{\text{доп}} - q_m(1 - \mu_{\text{доп}})]. \quad (39)$$

Аналогично для структуры на рис. 3, б можно записать

$$\rho_{s_1}^m = -B_{\gamma, \text{ф. осн}} |_{y=a-d_2-c_2} + B_{\gamma, \text{ф. доп}} |_{y=a-d_2-c_2} \quad (40)$$

при $y = a - d_2 - c_2$ и

$$\rho_{s_2}^m = B_{\gamma, \text{ф. осн}} |_{y=a-d_2} - B_{\gamma, \text{ф. доп}} |_{y=a-d_2} \quad (41)$$

при $y = a - d_2$. В этих выражениях $e_{y, \text{ф. осн}}$ и $B_{\gamma, \text{ф. доп}}$ — нормальные компоненты магнитной индукции соответственно в основном и дополнительном слоях феррита. Эти поверхностные заряды нетрудно выразить через потенциалы следующим образом:

$$\rho_{s_1}^m = i\mu_0 \sum_m a_m(z) \gamma_m \frac{\hat{\psi}_m(a)}{1 - v_m} [(\mu_{\text{осн}} - \mu_{\text{доп}})(e^{iqm\gamma m (d_2+c_2)} - v_m e^{-iqm\gamma m (d_2+c_2)}) - q_m(\mu_{\text{осн}} - \mu_{\text{доп}})(e^{iqm\gamma m (d_2+c_2)} + v_m e^{-iqm\gamma m (d_2+c_2)})], \quad (42)$$

$$\rho_{s_2}^m = -i\mu_0 \sum_m a_m(z) \gamma_m \frac{\hat{\psi}_m(a)}{1 - v_m} [(\mu_{\text{осн}} - \mu_{\text{доп}})(e^{iqm\gamma m d_2} - v_m e^{-iqm\gamma m d_2}) - q_m(\mu_{\text{осн}} - \mu_{\text{доп}})(e^{iqm\gamma m d_2} + v_m e^{-iqm\gamma m d_2})]. \quad (43)$$

5. Полученные выражения для наведенных магнитных зарядов позволяют записать выражения для интегралов возбуждения (27) и (28). После ряда преобразований имеем следующие выражения для рассматриваемых структур: а) структура, представленная на рис. 3, а,

$$\begin{aligned} R_{\bar{m}}^{(b)} &= i\omega W \int_{a+d_1}^{a+d_1+c_1} \rho_{\bar{b}}^m \hat{\psi}_{\bar{m}}^*(y) dy = -\omega\mu_0 W \frac{\hat{\psi}_m(a) \hat{\psi}_{\bar{m}}^*(a)}{2q_m} [\mu_{\text{доп}} - 1 + q_m \mu_{\text{доп}}] \times \\ &\times \left[\frac{da_m(z)}{dz} + \gamma_m a_m(z) \right] [e^{i2qm\gamma m (d_1+c_1)} - e^{i2qm\gamma m d_1}] - \omega\mu_0 W \hat{\psi}_{\bar{m}}^*(a) \times \\ &\times \sum_{k \neq m} \left\{ \frac{\gamma_k \hat{\psi}_k(a)}{q_k \gamma_k + q_m \gamma_m} [\mu_{\text{доп}} - 1 + q_k \mu_{\text{доп}}] \times \right. \\ &\left. \times \left[\frac{da_m(z)}{dz} + \gamma_k a_k(z) \right] [e^{i(q_k \gamma_k + q_m \gamma_m)(d_1+c_1)} - e^{i(q_k \gamma_k + q_m \gamma_m)d_1}] \right\}, \quad (44) \end{aligned}$$

$$\begin{aligned} R_{\bar{m}}^{(g)} &= i\omega W [\rho_{s_1}^m \hat{\psi}_{\bar{m}}^*(a + d_1) + \rho_{s_2}^m \hat{\psi}_{\bar{m}}^*(a + d_1 + c_1) + (\rho_{\bar{s}}^m)_{\text{мет}} \hat{\psi}_{\bar{m}}^*(h)] = \\ &= \mu_0 \omega W \hat{\psi}_m(a) \hat{\psi}_{\bar{m}}^*(a) a_m(z) \gamma_m \{ [\mu_{\text{доп}} - q_m(1 - \mu_{\text{доп}})] e^{i2qm\gamma m d_1} - \\ &\quad - [\mu_{\text{доп}} - q_m(1 - \mu_{\text{доп}})] e^{i2qm\gamma m (d_1+c_1)} - q_m e^{i2qm\gamma m (h-a)} \} + \\ &+ \mu_0 \omega W \hat{\psi}_{\bar{m}}^*(a) \sum_{k \neq m} \hat{\psi}_k(a) a_k(z) \gamma_k \{ [\mu_{\text{доп}} - q_k(1 - \mu_{\text{доп}})] e^{i(q_k \gamma_k + q_m \gamma_m)d_1} - \\ &\quad - [\mu_{\text{доп}} - q_k(1 - \mu_{\text{доп}})] e^{i(q_k \gamma_k + q_m \gamma_m)(d_1+c_1)} - q_k e^{i(q_k \gamma_k + q_m \gamma_m)(h-a)} \}, \quad (45) \end{aligned}$$

б) структура, представленная на рис. 3, б,

$$\begin{aligned}
 R_m^{(b)} = & i\omega W \int_{a-d_2-c_2}^{a-d_2} \rho_m^* \hat{\psi}_m^* (y) dy = -\omega \mu_0 W \frac{\hat{\psi}_m (a) \hat{\psi}_m^* (a)}{(2-v_m)^2} \gamma_m \left[\frac{da_m(z)}{dz} + \gamma_m a_m(z) \right] \times \\
 & \times \left[(\mu_{\text{доп}} - \mu_{\text{осн}} - g_m (\mu_{\text{доп}} - \mu_{\text{осн}})) \left(\frac{e^{i2q_m \gamma_m d_2} - e^{i2q_m \gamma_m (d_2+c_2)}}{2q_m \gamma_m} - v_m c_2 \right) - \right. \\
 & \left. - v_m (\mu_{\text{доп}} - \mu_{\text{осн}} + g_m (\mu_{\text{доп}} - \mu_{\text{осн}})) \left(\frac{e^{-i2q_m \gamma_m d_2} - e^{-i2q_m \gamma_m (d_2+c_2)}}{2q_m \gamma_m} v_m - c_2 \right) \right] - \\
 & - \omega \mu_0 W \frac{\hat{\psi}_m^* (a)}{1-v_m} \sum_{k \neq m} \left\{ \left[\frac{da_k(z)}{dz} + \gamma_k a_k(z) \right] \gamma_k \frac{\hat{\psi}_k (a)}{1-v_k} \left[(\mu_{\text{доп}} - \mu_{\text{осн}} - g_k (\mu_{\text{доп}} - \mu_{\text{осн}})) \times \right. \right. \\
 & \times \left(\frac{e^{i(q_k \gamma_k + g_m \gamma_m) d_2} - e^{i(q_k \gamma_k + g_m \gamma_m) (d_2+c_2)}}{q_k \gamma_k + g_m \gamma_m} - \right. \\
 & \left. \left. - v_m \frac{e^{i(q_k \gamma_k - g_m \gamma_m) d_2} - e^{i(q_k \gamma_k - g_m \gamma_m) (d_2+c_2)}}{q_k \gamma_k - g_m \gamma_m} \right) - v_k (\mu_{\text{доп}} - \mu_{\text{осн}} + g_k (\mu_{\text{доп}} - \mu_{\text{осн}})) \times \right. \\
 & \times \left(\frac{e^{-i(q_k \gamma_k + g_m \gamma_m) d_2} - e^{-i(q_k \gamma_k + g_m \gamma_m) (d_2+c_2)}}{q_k \gamma_k + g_m \gamma_m} v_m - \right. \\
 & \left. \left. \left. \frac{e^{-i(q_k \gamma_k - g_m \gamma_m) d_2} - e^{-i(q_k \gamma_k - g_m \gamma_m) (d_2+c_2)}}{q_k \gamma_k - g_m \gamma_m} \right) \right] \right\}, \quad (46)
 \end{aligned}$$

$$\begin{aligned}
 R_m^{(s)} = & i\omega W [\rho_{s_1}^m \hat{\psi}_m^* (a-d_2-c_2) + \rho_{s_2}^m \hat{\psi}_m^* (a-d_2) + (\rho_m^s)_{\text{мет}} \hat{\psi}_m^* (h)] = \\
 = & -\omega \mu_0 W \hat{\psi}_m (a) \hat{\psi}_m^* (a) a_m(z) \gamma_m \left\{ \frac{e^{i q_m \gamma_m (d_2+c_2)} - v_m e^{-i q_m \gamma_m (d_2+c_2)}}{(1-v_m)^2} [(\mu_{\text{осн}} - \mu_{\text{доп}}) \times \right. \\
 \times & (e^{i q_m \gamma_m (d_2+c_2)} - v_m e^{-i q_m \gamma_m (d_2+c_2)}) - g_m (\mu_{\text{осн}} - \mu_{\text{доп}}) (e^{i q_m \gamma_m (d_2+c_2)} + v_m e^{-i q_m \gamma_m (d_2+c_2)})] - \\
 & \left. \frac{e^{i q_m \gamma_m d_2} - v_m e^{-i q_m \gamma_m d_2}}{(1-v_m)^2} [(\mu_{\text{осн}} - \mu_{\text{доп}}) (e^{i q_m \gamma_m d_2} - v_m e^{-i q_m \gamma_m d_2}) - \right. \\
 & \left. - g_m (\mu_{\text{осн}} - \mu_{\text{доп}}) (e^{i q_m \gamma_m d_2} + v_m e^{-i q_m \gamma_m d_2})] + q_m e^{i 2 q_m \gamma_m (h-a)} \right\} - \\
 & - \omega \mu_0 \hat{\psi}_m^* (a) \sum_{k \neq m} a_k(z) \gamma_k \hat{\psi}_k (a) \left\{ \frac{e^{i q_m \gamma_m (d_2+c_2)} - v_m e^{-i q_m \gamma_m (d_2+c_2)}}{(1-v_k)(1-v_m)} [(\mu_{\text{осн}} - \mu_{\text{доп}}) \times \right. \\
 \times & (e^{i q_k \gamma_k (d_2+c_2)} - v_k e^{-i q_k \gamma_k (d_2+c_2)}) - g_k (\mu_{\text{осн}} - \mu_{\text{доп}}) (e^{i q_k \gamma_k (d_2+c_2)} + v_k e^{-i q_k \gamma_k (d_2+c_2)})] - \\
 & \left. \frac{e^{i q_m \gamma_m d_2} - v_m e^{-i q_m \gamma_m d_2}}{(1-v_k)(1-v_m)} [(\mu_{\text{осн}} - \mu_{\text{доп}}) (e^{i q_k \gamma_k d_2} - v_k e^{-i q_k \gamma_k d_2}) - \right. \\
 & \left. - g_k (\mu_{\text{осн}} - \mu_{\text{доп}}) (e^{i q_k \gamma_k d_2} + v_k e^{-i q_k \gamma_k d_2})] + q_k e^{i (a_k \gamma_k + g_m \gamma_m) (h-a)} \right\}. \quad (47)
 \end{aligned}$$

В выражениях (44)–(47) перед знаком суммы выделены члены с индексом m , для которых справедливы соотношения $g_m = q_m$, $-\gamma_m = \gamma_m^*$. Вид выражений (44)–(47) позволяет в общем виде представить уравнение (13) следующим образом:

$$\begin{aligned}
 \frac{da_m(z)}{dz} + \gamma_m a_m(z) = & -\frac{\hat{\psi}_m^* (a)}{N_m} \left\{ \hat{\delta}_m \left[\frac{da_m(z)}{dz} + \gamma_m a_m(z) \right] + v_m \gamma_m a_m(z) + \right. \\
 & \left. + \sum_{k \neq m} (C_{mk} \left[\frac{da_m(z)}{dz} + \gamma_k a_k(z) \right] + D_{mk} \gamma_k a_k(z)) \right\}, \quad (48)
 \end{aligned}$$

где коэффициенты $\hat{\delta}_m$, v_m , C_{mk} , D_{mk} легко находятся из соответствующих выражений (44)–(47). Перепишем (48) следующим образом:

$$\frac{da_m(z)}{dz} (1 + \hat{\delta}'_m) + \gamma_m a_m(z) (1 + \hat{\delta}'_m + v'_m) = \sum_{k \neq m} (C'_{mk} \frac{da_k(z)}{dz} + D'_{mk} a_k(z) \gamma_k), \quad (49)$$

где

$$\delta'_m = \frac{\delta_m \hat{\psi}_m^*(a)}{N_m}, \quad \nu'_m = \frac{\nu_m \hat{\psi}_m^*(a)}{N_m}, \quad C'_{mk} = \frac{C_{mk} \hat{\psi}_m^*(a)}{N_m}, \quad D'_{mk} = \frac{(C_{mk} + D_{mk}) \hat{\psi}_m^*(a)}{N_m}.$$

Система алгебраических уравнений (49) описывает связь между модами спинового волновода, возникающую в области неоднородности структуры. Рассматривая, в частности, определенные типы распространяющихся мод и ограничиваясь конечным числом мод, для которых имеет место условие резонансной связи [12], с помощью выражения (49) нетрудно получить параметры матрицы рассеяния (S -параметры) для представленных видов нерегулярностей.

Список литературы

- [1] Sykes C. G., Adam J. D., Collins J. H. // Appl. Phys. Lett. 1976. Vol. 29. N 6. P. 388—391.
- [2] Volluet G., Harteman P. // Ultrasonic Symp. Proc. IEEE. 1981. P. 394—397.
- [3] Вороненко А. В., Герус С. В. // Письма в ЖТФ. 1984. Т. 10. Вып. 12. С. 746—748.
- [4] Owens J. M., Smith C. V., Lee S. N., Collins J. H. // IEEE Trans. Magn. 1978. Vol. MAG-14. N 5. P. 820—825.
- [5] Parekh J. P., Tuan H. S. // Appl. Phys. Lett. 1977. Vol. 31. N 10. P. 709.
- [6] Вугальтер Г. А. // РИЭ. 1981. Т. 26. № 7. С. 1382—1390.
- [7] Снайдер А., Лаз Дж. Теория оптических волноводов. М.: Радио и связь, 1987. 656 с.
- [8] Шевченко В. В. Плавные переходы в открытых волноводах. М.: Наука, 1969. 191 с.
- [9] Varybin A. A. // J. Appl. Phys. 1975. Vol. 46. N 4. P. 1707—1720.
- [10] Varybin A. A. // Int. J. Electron. 1978. Vol. 14. N 5. P. 499—523.
- [11] Bini M., Filetti P. L., Millanta L., Rubino N. // J. Appl. Phys. 1978. Vol. 49. N 6. P. 3554—3564.
- [12] Люиселл У. Связанные и параметрические колебания в электронике. М.: ИЛ, 1963.

Ленинградский электротехнический
институт им. В. И. Ульянова (Ленина)

Поступило в Редакцию
29 июня 1989 г.